

# Thème 3: résolution numérique des EDP linéaires

## Problèmes statiques et dynamiques

MNCS – Albert Hertzog, Jacques Lefrère, Jean Hare, Noé Lahaye

Sorbonne Université  
MNCS  
Méthodes numériques et calcul scientifique

11 et 12 mars 2021

# Sommaire

- 1 Introduction
  - Généralités
  - Conditions aux limites
  - Problèmes statiques et dynamiques

# Sommaire

- 1 Introduction
  - Généralités
  - Conditions aux limites
  - Problèmes statiques et dynamiques
- 2 Exemple de problème statique linéaire : l'équation de Laplace
  - Discrétisation du problème
  - Reformulation vectorielle de la solution
  - Solution du problème

# Sommaire

- 1 Introduction
  - Généralités
  - Conditions aux limites
  - Problèmes statiques et dynamiques
- 2 Exemple de problème statique linéaire : l'équation de Laplace
  - Discrétisation du problème
  - Reformulation vectorielle de la solution
  - Solution du problème
- 3 Intermède technique
  - Manipulations avancées dans Eigen
  - Mesure du temps de calcul en C++

# Sommaire

- 1 Introduction
  - Généralités
  - Conditions aux limites
  - Problèmes statiques et dynamiques
- 2 Exemple de problème statique linéaire : l'équation de Laplace
  - Discrétisation du problème
  - Reformulation vectorielle de la solution
  - Solution du problème
- 3 Intermède technique
  - Manipulations avancées dans Eigen
  - Mesure du temps de calcul en C++
- 4 Problèmes dynamiques
  - Discrétisation de l'espace et du temps
  - Algorithme explicite du premier ordre en temps
  - Algorithme implicite du premier ordre en temps
  - Algorithme de Crank–Nicolson

# Sommaire

- 1 Introduction
  - Généralités
  - Conditions aux limites
  - Problèmes statiques et dynamiques
- 2 Exemple de problème statique linéaire : l'équation de Laplace
  - Discrétisation du problème
  - Reformulation vectorielle de la solution
  - Solution du problème
- 3 Intermède technique
  - Manipulations avancées dans Eigen
  - Mesure du temps de calcul en C++
- 4 Problèmes dynamiques
  - Discrétisation de l'espace et du temps
  - Algorithme explicite du premier ordre en temps
  - Algorithme implicite du premier ordre en temps
  - Algorithme de Crank–Nicolson

# Contexte

- Équations différentielles ordinaires (EDO) : une variable indépendante
- **Équations aux dérivées partielles (EDP)** : plusieurs variables indépendantes

EDP omniprésentes en physique, chimie, sciences de la Terre, biologie : mécanique des fluides, propagation des ondes, électromagnétisme, phénomènes de diffusion...

Se limiter ici à des EDP **linéaires** régissant un champ **scalaire**  $u(\vec{r}, t)$ . Généralisations vectorielles possibles, et techniquement analogues.

Résolution numérique par la **méthode des différences finies** avec un maillage régulier.

Mais il existe d'autres méthodes, **éléments finis** par exemple, mieux adaptées dans le cas de domaines à géométrie complexe.

# Exemples d'EDP scalaires les plus connues

- ❶ L'équation des ondes ou « de d'Alembert »

$$\frac{\partial^2 u}{\partial t^2} - c^2 \Delta u = 0 \quad (1)$$

- ❷ L'équation de Schrödinger

$$i \frac{\partial u}{\partial t} = -\frac{1}{2} \Delta u + V u \quad (2)$$

- ❸ L'équation de diffusion

$$\frac{\partial u}{\partial t} = \operatorname{div}[D \overrightarrow{\operatorname{grad}} u] = D \Delta u \quad \text{si } D \text{ est uniforme} \quad (3)$$

- ❹ Les équations de Poisson et de Laplace

$$\Delta u = \rho \qquad \Delta u = 0 \quad (4)$$

⚠ Les équations de **Navier-Stokes** en mécanique des fluides sont en général non-linéaires à cause du terme d'advection.



# Équations elliptiques/paraboliques/hyperboliques

Étude théorique des EDP : vaste domaine en mathématiques.

EDP **linéaires** (du second ordre) classées selon la forme des coefficients devant les dérivées partielles :

$$\alpha \frac{\partial^2 u}{\partial x^2} + \beta \frac{\partial^2 u}{\partial x \partial y} + \gamma \frac{\partial^2 u}{\partial y^2} = \dots$$

- $\beta^2 - 4\alpha\gamma > 0$  hyperboliques : équation des ondes
- $\beta^2 - 4\alpha\gamma = 0$  paraboliques : diffusion ou Schrödinger
- $\beta^2 - 4\alpha\gamma < 0$  elliptiques : équations de Laplace, Poisson, Helmholtz

Propriétés mathématiques différentes

→ méthodes numériques spécifiques.

# Conditions aux limites

L'équation est vérifiée dans un domaine  $\mathcal{D}$  de l'espace.

Problème « bien posé »  $\rightarrow$  conditions aux limites (CL).

Plusieurs types de conditions :

- **Dirichlet** :  $u$  imposé sur le bord  $\partial\mathcal{D}$ .
- **Neumann** :  $\overrightarrow{\text{grad}} u \cdot \vec{n}$  (flux) imposé sur  $\partial\mathcal{D}$ .
- **Robin** : plus général, combinaison linéaire des deux.
- **Cas général** : conditions mixtes, i.e. différentes sur différentes parties de  $\partial\mathcal{D}$ .

Exemple de l'équation de la chaleur.

- Dirichlet  $\Leftrightarrow$  parois isothermes (imposent la température)
- Neumann  $\Leftarrow$  parois adiabatiques (transfert de chaleur nul)

# Problèmes statiques et dynamiques

Distinguer deux classes de problèmes selon la présence de la variable temps :

- **Problèmes statiques** : déterminer  $u(\vec{r})$  en fonction des CL (pas de variable temps explicite).  
La solution statique peut correspondre à un régime stationnaire atteint après un temps d'évolution assez long.
- **Problèmes dynamiques** : déterminer  $u(\vec{r}, t)$  dans  $\mathcal{D}$  sur un intervalle de temps + CL spatio-temporelles :
  - CI (conditions initiales) :  $u(\vec{r}, t = 0)$
  - CL (conditions aux limites) :  $u(\vec{r} = \cdot, t)$

# Problèmes statiques

1 - Problèmes statiques : solution d'une EDP où le temps n'intervient pas.

Exemple : solution d'équilibre de l'équation de diffusion lorsque  $t \rightarrow \infty$ .

Équation de Laplace 2D

$$\Delta T = \left( \frac{\partial^2}{\partial x^2} + \frac{\partial^2}{\partial y^2} \right) T = 0$$

# Problèmes dynamiques

## 2 - Problèmes dynamiques :

Deux méthodes simples seront exposées et analysées sur l'exemple de l'équation de diffusion à 1-D :

$$\frac{\partial u}{\partial t} = D \frac{\partial^2 u}{\partial x^2} \quad (5)$$

avec diverses conditions initiales.

# Sommaire

- 1 Introduction
  - Généralités
  - Conditions aux limites
  - Problèmes statiques et dynamiques
- 2 Exemple de problème statique linéaire : l'équation de Laplace
  - Discrétisation du problème
  - Reformulation vectorielle de la solution
  - Solution du problème
- 3 Intermède technique
  - Manipulations avancées dans Eigen
  - Mesure du temps de calcul en C++
- 4 Problèmes dynamiques
  - Discrétisation de l'espace et du temps
  - Algorithme explicite du premier ordre en temps
  - Algorithme implicite du premier ordre en temps
  - Algorithme de Crank–Nicolson

# Résolution de l'équation de Laplace dans un rectangle

Objectif : solution  
numérique approchée de  
 $\Delta T = 0$   
à l'intérieur de  $\mathcal{D}$ .

Simplification :  
 $\mathcal{D}$  rectangulaire,  
de côtés  $\Delta x$  et  $\Delta y$ .

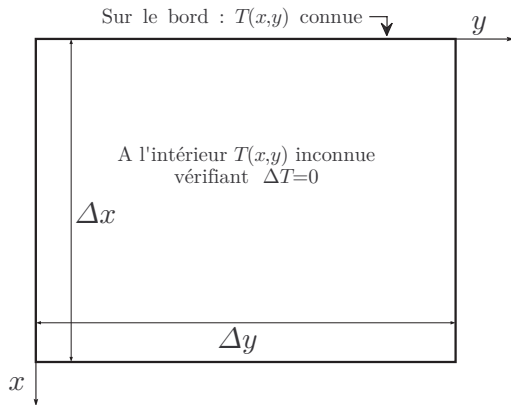
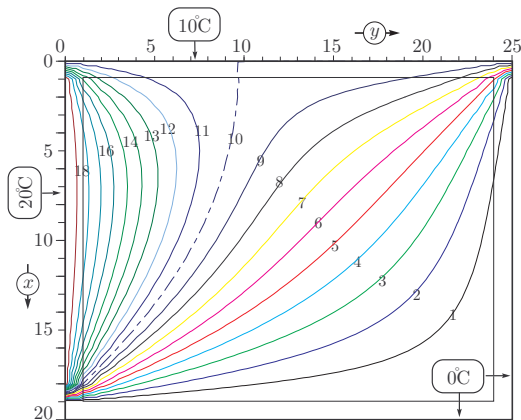


FIGURE 1 – Géométrie du problème de l'équation de Laplace : noter le choix inhabituel de l'orientation des axes  $x$  et  $y$

## Exemple de carte d'isothermes

**CL Dirichlet** : températures imposées aux bords



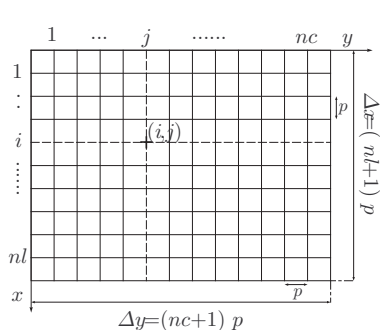
**FIGURE 2** – Exemple de solution de l'équation  $\Delta T = 0$ , dans le cas où une paroi est maintenue à  $20^{\circ}\text{C}$ , une autre adjacente est à  $10^{\circ}\text{C}$  et les deux autres parois sont à  $T = 0^{\circ}\text{C}$ .

Les lignes indexées de 1 à 18 représentent les isothermes.

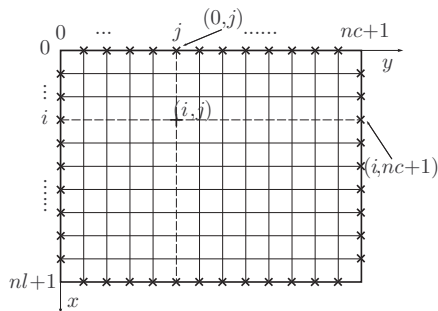


# Maillage du domaine $\mathcal{D}$

**Discretisation** du domaine  $\mathcal{D}$  : température évaluée en un nombre fini de points. Le plus simple : grille de pas  $dx = dy = p$



**FIGURE 3** – Point de grille  $\leftrightarrow (i, j)$ .  
**Intérieur** du domaine :  $i = 1 \rightarrow nl$ ,  
 $j = 1 \rightarrow nc$ .



**FIGURE 4** – Les **bords** du domaine (C.L.) sont numérotés :  $i = 0$  pour le haut,  $i = nl + 1$  pour le bas,  $j = 0$  pour la gauche,  $j = nc + 1$  pour la droite.

# Indexation 2D du domaine

À l'intérieur de la grille, on a :

- $nl = \Delta x / p - 1$  lignes horizontales.
- $nc = \Delta y / p - 1$  colonnes verticales

Chaque point est repéré par un couple d'indices  $(i, j)$  où le premier indice note le numéro de la ligne et le second celui de la colonne.

On note  $T_{i,j}$  la température en ce point, de coordonnées  
 $x_i = i \times p$ ,  $y_j = j \times p$ .

Les **inconnues** du problème sont les  $n = nl \times nc$  valeurs de  $T_{i,j}$   
 où  $1 \leq i \leq nl$ ,  $1 \leq j \leq nc$ .

Elles seront déduites des  $2(nl + nc)$  valeurs de  $T_{i,j}$  imposées aux bords

$i = 0$  (nord) ou  $i = nl + 1$  (sud)

$j = 0$  (ouest) ou  $j = nc + 1$  (est).

# Différences finies

Les dérivées partielles sont approchées par des **différences finies**, basées sur des développements de Taylor. Le développement de Taylor,

$$T(x \pm p) = T(x) \pm p \frac{\partial T}{\partial x} + \frac{p^2}{2} \frac{\partial^2 T}{\partial x^2} \pm \frac{p^3}{3!} \frac{\partial^3 T}{\partial x^3} + O(p^4) \quad (6)$$

montre que :

$$T(x + p) + T(x - p) = 2T(x) + p^2 \frac{\partial^2 T}{\partial x^2}(x) + O(p^4) \quad (7)$$

d'où :

$$\boxed{\frac{\partial^2 T}{\partial x^2}(x) = \frac{T(x + p) + T(x - p) - 2T(x)}{p^2} + O(p^2)} \quad (8)$$

dont la précision est du deuxième ordre en  $p$ .

## Différences finies (suite)

On obtient le même résultat en appliquant deux fois le schéma centré de pas  $p/2$  à 2 termes de la dérivée :

$$\frac{\partial T}{\partial x} \left( x \pm \frac{p}{2} \right) \approx \pm \frac{T(x \pm p) - T(x)}{p} \quad (9)$$

Puis :

$$\frac{\partial^2 T}{\partial x^2}(x) \approx \frac{1}{p} \left[ \frac{\partial T}{\partial x} \left( x + \frac{p}{2} \right) - \frac{\partial T}{\partial x} \left( x - \frac{p}{2} \right) \right] \quad (10)$$

qui redonne (8) :

$$\frac{\partial^2 T}{\partial x^2}(x) = \frac{T(x+p) + T(x-p) - 2T(x)}{p^2} + O(p^2)$$

Sur la grille, la dérivée seconde par rapport à  $x$  est alors approximée par :

$$\frac{\partial^2 T}{\partial x^2}(x_i, y_j) = \frac{T_{i+1,j} + T_{i-1,j} - 2T_{i,j}}{p^2} + O(p^2) \quad (11)$$

# Différences finies : Laplacien 2D

On obtient ainsi le **Laplacien 2D discrétisé à l'ordre 2** :

$$\Delta T_{i,j} = \frac{T_{i+1,j} + T_{i-1,j} + T_{i,j+1} + T_{i,j-1} - 4T_{i,j}}{p^2} + O(p^2) \quad (12)$$

Équation de Laplace  $\Delta T = 0 \implies$  système **linéaire** de  $N$  équations reliant  $T_{i,j}$  aux 4 points voisins :

$$T_{i+1,j} + T_{i-1,j} + T_{i,j+1} + T_{i,j-1} - 4T_{i,j} = 0 \quad (13)$$

$N = nc \times nl$  valeurs à déterminer

à partir de  $2(nc + nl)$  températures connues.

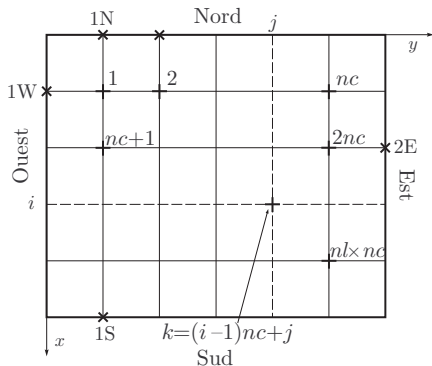
Certains points intérieurs ont des voisins sur les parois avec des températures imposées qui vont constituer le **second membre**.

Noter qu'avec des conditions de Dirichlet, le pas  $p$  n'intervient plus.

# Réindexation 1-D du domaine (en RowMajor)

Ré-indexation 1D des points intérieurs :  $k = (i - 1)nc + j \Rightarrow$  **vecteur**  $Z$ .

$$T_{i,j} \iff Z_k \quad 1 \leq k \leq nl \times nc$$



**FIGURE 5** – Renumerotation des points de grille pour représenter la solution sous la forme d'un **vecteur** : le domaine est ré-indexé ligne par ligne de la gauche vers la droite, puis de haut en bas (comme une image numérique) donc en **RowMajor**.

Les voisins au Nord et au Sud sont alors **espacés de  $nc$**  dans  $Z$ .

# Formulation vectorielle

Pour un point sans contact avec les bords du domaine, l'équation (13) s'écrit :

$$Z_{k-nc} + Z_{k-1} - 4Z_k + Z_{k+1} + Z_{k+nc} = 0 \quad (14)$$

⚠ Ne pas croire que le second membre du système linéaire est nul !

Pour un point en contact avec un bord, cette équation fait intervenir des températures imposées. Par exemple celles du bord Nord si  $i = 1, j = 2$  :

$$T_{2N} + Z_1 - 4Z_2 + Z_3 + Z_{2+nc} = 0$$

⇒ passer ces termes dans le second membre du système

- Les CL de Dirichlet des bords créent le second membre
- Chaque changement de membre d'une température imposée annule un des coefficients des  $Z_{k'}$ .

# Matrice $L_{2D}$

Réécrire le système d'équations sous la forme :

$$A Z = B \quad (15)$$

où  $A = L_{2D}$  est une matrice carrée  $N \times N$  comportant  
 $nl \times nl$  blocs carrés de dimension  $nc \times nc$ .

$L_{2D}$  est symétrique **tridiagonale par blocs** :

- ① blocs diagonaux avec  $-4$  sur la diagonale, et  $1$  sur les sur-/sous-diagonale
- ② blocs de type identité sur la sous-diagonale et la sur-diagonale.

Chaque ligne et chaque colonne contient 5 termes non-nuls,

- sauf celles de numéro  $i \times nc$  et  $i \times nc + 1$ , où apparaissent les **0** des contacts avec les bords latéraux,
- et celles associées au premier et dernier bloc (bords haut et bas).



Matrice  $L_{2D}$  avec  $nl = 3$  et  $nc = 4$ 

$$L_{2D} = \begin{pmatrix} \begin{array}{cccc|cccc} -4 & 1 & 0 & 0 & 1 & 0 & 0 & 0 \\ 1 & -4 & 1 & 0 & 0 & 1 & 0 & 0 \\ 0 & 1 & -4 & 1 & 0 & 0 & 1 & 0 \\ 0 & 0 & 1 & -4 & \color{red}{0} & 0 & 0 & 1 \\ \hline 1 & 0 & 0 & \color{red}{0} & -4 & 1 & 0 & 0 \\ 0 & 1 & 0 & 0 & 1 & -4 & 1 & 0 \\ 0 & 0 & 1 & 0 & 0 & 1 & -4 & 1 \\ 0 & 0 & 0 & 1 & 0 & 0 & 1 & -4 \\ \hline 0 & 0 & 0 & 0 & 1 & 0 & 0 & \color{red}{0} \\ 0 & 0 & 0 & 0 & 0 & 1 & 0 & 0 \\ 0 & 0 & 0 & 0 & 0 & 0 & 1 & 0 \\ 0 & 0 & 0 & 0 & 0 & 0 & 0 & 1 \end{array} \end{pmatrix} \begin{array}{l} \uparrow \\ \uparrow \\ \uparrow \\ \uparrow \\ \uparrow \\ \uparrow \\ \uparrow \\ \uparrow \end{array} \begin{array}{l} nl \text{ blocs} \\ \text{de taille} \\ nc \times nc \end{array}$$

$\longleftarrow nc \longrightarrow \quad \longleftarrow nc \longrightarrow \quad \longleftarrow nc \longrightarrow$   
 $nl = 3 \quad \text{et} \quad nc = 4$

# $L_{2D}$ tridiagonale par blocs : exemple $nl = 5$ et $nc = 4$

$$L_{2D} = \begin{pmatrix} \begin{array}{cccc|cccc|cccc|cccc|cccc} -4 & 1 & 0 & 0 & 1 & 0 & 0 & 0 & 0 & 0 & 0 & 0 & 0 & 0 & 0 & 0 & 0 \\ 1 & -4 & 1 & 0 & 0 & 1 & 0 & 0 & 0 & 0 & 0 & 0 & 0 & 0 & 0 & 0 & 0 \\ 0 & 1 & -4 & 1 & 0 & 0 & 1 & 0 & 0 & 0 & 0 & 0 & 0 & 0 & 0 & 0 & 0 \\ 0 & 0 & 1 & -4 & 0 & 0 & 0 & 1 & 0 & 0 & 0 & 0 & 0 & 0 & 0 & 0 & 0 \\ \hline 1 & 0 & 0 & 0 & -4 & 1 & 0 & 0 & 1 & 0 & 0 & 0 & 0 & 0 & 0 & 0 & 0 \\ 0 & 1 & 0 & 0 & 1 & -4 & 1 & 0 & 0 & 1 & 0 & 0 & 0 & 0 & 0 & 0 & 0 \\ 0 & 0 & 1 & 0 & 0 & 1 & -4 & 1 & 0 & 0 & 1 & 0 & 0 & 0 & 0 & 0 & 0 \\ 0 & 0 & 0 & 1 & 0 & 0 & 1 & -4 & 0 & 0 & 0 & 1 & 0 & 0 & 0 & 0 & 0 \\ \hline 0 & 0 & 0 & 0 & 1 & 0 & 0 & 0 & -4 & 1 & 0 & 0 & 1 & 0 & 0 & 0 & 0 \\ 0 & 0 & 0 & 0 & 0 & 1 & 0 & 0 & 1 & -4 & 1 & 0 & 0 & 1 & 0 & 0 & 0 \\ 0 & 0 & 0 & 0 & 0 & 0 & 1 & 0 & 0 & 1 & -4 & 1 & 0 & 0 & 1 & 0 & 0 \\ 0 & 0 & 0 & 0 & 0 & 0 & 0 & 1 & 0 & 0 & 1 & -4 & 0 & 0 & 1 & 0 & 0 \\ \hline 0 & 0 & 0 & 0 & 0 & 0 & 0 & 0 & 1 & 0 & 0 & 0 & -4 & 1 & 0 & 0 & 0 \\ 0 & 0 & 0 & 0 & 0 & 0 & 0 & 0 & 0 & 1 & 0 & 0 & 1 & -4 & 1 & 0 & 0 \\ 0 & 0 & 0 & 0 & 0 & 0 & 0 & 0 & 0 & 0 & 1 & 0 & 0 & 1 & -4 & 1 & 0 \\ 0 & 0 & 0 & 0 & 0 & 0 & 0 & 0 & 0 & 0 & 0 & 1 & 0 & 0 & 1 & -4 & 1 \\ \hline 0 & 0 & 0 & 0 & 0 & 0 & 0 & 0 & 0 & 0 & 0 & 0 & 1 & 0 & 0 & 0 & -4 \\ 0 & 0 & 0 & 0 & 0 & 0 & 0 & 0 & 0 & 0 & 0 & 0 & 0 & 1 & 0 & 0 & 1 \\ 0 & 0 & 0 & 0 & 0 & 0 & 0 & 0 & 0 & 0 & 0 & 0 & 0 & 0 & 1 & -4 & 1 \\ 0 & 0 & 0 & 0 & 0 & 0 & 0 & 0 & 0 & 0 & 0 & 0 & 0 & 0 & 1 & -4 & 1 \end{array} \end{pmatrix}$$

$\leftarrow nc \rightarrow \quad \leftarrow nc \rightarrow \quad \leftarrow nc \rightarrow \quad \leftarrow nc \rightarrow \quad \leftarrow nc \rightarrow$

$nl$  blocs  
de taille  
 $nc \times nc$

$$nl = 5 \quad \text{et} \quad nc = 4$$

# Sens de parcours et influence des bords ( $nl = 5$ $nc = 4$ )

# Le vecteur B résultant des CL

B est un vecteur creux à  $N = nl \times nc$  composantes formé à partir des  $2(nl + nc)$  températures aux bords. On peut le décomposer sous la forme :

$$B = \begin{array}{c} \text{Nord} \\ \begin{bmatrix} T_{1N} \\ T_{2N} \\ \vdots \\ T_{nc N} \\ 0 \\ \vdots \\ \vdots \\ 0 \\ 0 \\ \vdots \\ \vdots \\ \vdots \\ 0 \end{bmatrix} \end{array} - \begin{array}{c} \text{Sud} \\ \begin{bmatrix} 0 \\ \vdots \\ \vdots \\ 0 \\ 0 \\ \vdots \\ \vdots \\ 0 \\ T_{1S} \\ T_{2S} \\ \vdots \\ T_{nc S} \end{bmatrix} \end{array} - \begin{array}{c} \text{Ouest} \\ \begin{bmatrix} T_{1W} \\ 0 \\ \vdots \\ 0 \\ T_{2W} \\ 0 \\ \vdots \\ 0 \\ T_{nl W} \\ 0 \\ \vdots \\ 0 \end{bmatrix} \end{array} - \begin{array}{c} \text{Est} \\ \begin{bmatrix} 0 \\ \vdots \\ 0 \\ T_{1E} \\ 0 \\ \vdots \\ 0 \\ T_{2E} \\ 0 \\ \vdots \\ 0 \\ T_{nl E} \end{bmatrix} \end{array}$$

# Solution du système linéaire

Plusieurs méthodes permettent de résoudre le système linéaire (15),  $L_{2D}Z = B$ , par exemple :

- 1 Les méthodes les plus générales de résolution numérique des systèmes linéaires, telles que la méthode d'élimination de Gauss-Jordan, la décomposition « LU » ou « QR »<sup>1</sup> ;
- 2 Des méthodes adaptées au cas où  $A$  est une matrice « creuse », bande, symétrique...
- 3 Des méthodes de relaxation qui s'apparentent, dans le cas d'une équation telle que l'équation de Laplace, à la résolution temporelle de l'équation de la chaleur.
- 4 L'utilisation des transformées de Fourier.

---

1. Ces méthodes permettent d'exprimer  $L_{2D}$  comme le produit de matrices triangulaire inférieure (**L**ower) et triangulaire supérieure (**U**pper) ou de matrices orthogonale (**Q**) et triangulaire supérieure (**R**).

# Résolution du système linéaire à l'aide d'Eigen

Méthodes générales (Gauss-Jordan, LU, QR)  $\propto N^3$  opérations  $\implies$  attention aux **temps de calculs**. Obligation d'utiliser des bibliothèques (Eigen, Blas/LAPACK) dont les méthodes surpassent les méthodes naïves « à la main ».

Méthodes Eigen<sup>2</sup> :

- `mat.colPivHouseholderQR().solve(sm)` : décomposition QR d'une matrice quelconque et résolution du système linéaire pour un vecteur second membre `sm`
- `mat.ldlt().solve(sm)` : décomposition de Choleski (ou LDLT<sup>3</sup>) :  $L_{2D}$  définie négative  $\implies$  plus rapide, mais toujours en  $N^3$
- caractère creux de  $L_{2D}$  (au plus 5 coefficients non nuls par colonne), permettant d'obtenir des méthodes  $\propto N$ . Utiliser les méthodes de **Eigen/Sparse**.

---

2. cf. doc Eigen **Linear algebra and decompositions**

3. factorisation sous la forme d'une matrice triangulaire inférieure (**Lower**), d'une matrice **Diagonale** et de la transposée de **L**

# Sommaire

- 1 Introduction
  - Généralités
  - Conditions aux limites
  - Problèmes statiques et dynamiques
- 2 Exemple de problème statique linéaire : l'équation de Laplace
  - Discrétisation du problème
  - Reformulation vectorielle de la solution
  - Solution du problème
- 3 Intermède technique
  - Manipulations avancées dans Eigen
  - Mesure du temps de calcul en C++
- 4 Problèmes dynamiques
  - Discrétisation de l'espace et du temps
  - Algorithme explicite du premier ordre en temps
  - Algorithme implicite du premier ordre en temps
  - Algorithme de Crank–Nicolson

# Initialisation avancées

Eigen définit plusieurs méthodes **d'initialisation avancées**<sup>4</sup>, qui s'appliquent (notamment) sur des `MatrixXf` ou des `VectorXf` :

- Initialisation à 0 :

```
MatrixXf mat = MatrixXf::Zero(n, m);
```

- Initialisation à une constante *val* :

```
VectorXf vec = VectorXf::Constant(n, val);
```

- Initialisation à la matrice identité :

```
MatrixXf matid = MatrixXf::Identity(n, n);
```

---

4. cf. doc Eigen **Advanced initializations**



# Manipulation par blocs

Eigen permet de manipuler des vecteurs ou des matrices par blocs<sup>5</sup>.

Pour les **vecteurs** :

- Accéder aux  $n$  **premiers** (resp. **derniers**) éléments  
`vec.head(n)` (resp. `vec.tail(n)`)
- Accéder aux  $n$  éléments **à partir de la position**  $i$   
`vec.segment(i,n)`

Pour les **matrices** :

- Accéder aux **colonnes** (resp. **lignes**)  
`mat.col(j)` (resp. `mat.row(i)`)
- Accéder au **bloc** de taille  $(n, m)$  à partir de la position  $(i, j)$   
`mat.block(i, j, n, m)`

**N.B.** : ces expressions peuvent être utilisées à droite (**rvalue**, lecture) ou à gauche (**lvalue**, affectation) du signe =

---

5. cf. doc Eigen **Block Operations**

# Mesure du temps de calcul

Mesurer les performances d'une partie du code : par ex. temps de résolution de  $L_{2D} Z = B$  en fonction de la taille de  $L_{2D}$ .

```
#include <chrono>
using namespace std::chrono;
...
auto start = std::chrono::high_resolution_clock::now();
... // algorithme dont on souhaite mesurer la performance
auto stop = high_resolution_clock::now();
auto duration = duration_cast<milliseconds>(stop-start);
cout << duration << " ms" << endl;
```

# Sommaire

- 1 Introduction
  - Généralités
  - Conditions aux limites
  - Problèmes statiques et dynamiques
- 2 Exemple de problème statique linéaire : l'équation de Laplace
  - Discrétisation du problème
  - Reformulation vectorielle de la solution
  - Solution du problème
- 3 Intermède technique
  - Manipulations avancées dans Eigen
  - Mesure du temps de calcul en C++
- 4 Problèmes dynamiques
  - Discrétisation de l'espace et du temps
  - Algorithme explicite du premier ordre en temps
  - Algorithme implicite du premier ordre en temps
  - Algorithme de Crank–Nicolson

# Introduction aux problèmes dynamiques

Problèmes dynamiques :

- Évolution temporelle à partir d'un état d'équilibre
- Phénomènes de propagation

Caractéristiques :

- Conditions initiales
- Conditions aux limites (peuvent dépendre du temps)  
 $\implies$  système forcé : transitoire puis régime permanent  $\nu \approx \nu_{\text{forcé}}$

Exemple : équation de la chaleur à **une dimension spatiale** pour simplifier.

# Équation de diffusion 1-D

Équation de diffusion à 1-D avec  $D = \text{cste} > 0$  :

$$\boxed{\frac{\partial u}{\partial t} = D \frac{\partial^2 u}{\partial x^2}} \quad (16)$$

domaines spatial  $x \in [0, L]$ , et temporel  $t \in [0, T]$

**Conditions Initiales (CI)** :  $u(x, 0) = u_0(x) \quad \forall x$

**Conditions aux Limites (CL)** :  $u(0, t) = u_g(t) \quad \text{et} \quad u(L, t) = u_d(t) \quad \forall t$

N.B. : espace et temps ont un rôle dissymétrique :

- CL/CI
- Degré différent des dérivées partielles

# Discretisation du domaine $[0, L] \times [0, T]$

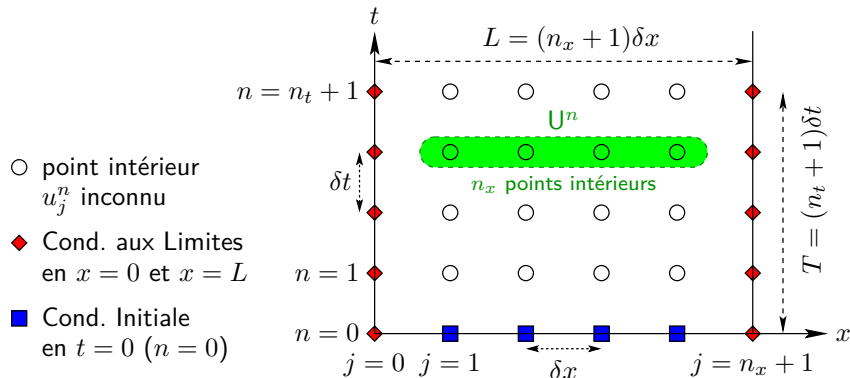


FIGURE 6 – Discretisation du domaine  $[0, L] \times [0, T]$

NB : visualisation ultérieure avec les 2 bords

⇒ à chaque pas de temps, écrire  $U^n$  ( $n_x$  points)  
plus les CL (2 points) :  $n_x + 2$  points

# Discretisation du domaine

Discretiser les deux dimensions :

**Espace** :  $[0, L]$  est divisé en  $n_x + 1$  pas de largeur  $\delta x = \frac{L}{n_x + 1}$ .

$n_x$  points intérieurs + 2 bords

**Temps** :  $[0, T]$  est subdivisé en  $n_t + 1$  pas de largeur  $\delta t = \frac{T}{n_t + 1}$ .

$u_j^n = u(x, t)$  pour  $x = j \delta x$  et  $t = n \delta t$

- CL  $\implies u_0^n \equiv u_g^n$  et  $u_{n_x+1}^n \equiv u_d^n$  pour  $1 \leq n \leq n_t + 1$
- CI  $\implies u_j^0$  pour  $1 \leq j \leq n_x$ .

Méthode de résolution fondamentalement **itérative** sur le temps :

$u_j^n + \text{CL} \implies u_j^{n+1}$  à l'intérieur du domaine.

# Discrétisation des opérateurs : différences finies

Laplacien 1D à l'ordre 2 (cf régimes stationnaires) :

$$\Delta u \approx \frac{u_{j+1}^n - 2u_j^n + u_{j-1}^n}{(\delta x)^2}$$

Dérivée par rapport au temps — au choix comme pour les EDO :

- vers l'avant :  $\left(\frac{\partial u}{\partial t}\right)_j^n \approx \frac{u_j^{n+1} - u_j^n}{\delta t}$  (cf Euler forward)
- vers l'arrière :  $\left(\frac{\partial u}{\partial t}\right)_j^n \approx \frac{u_j^n - u_j^{n-1}}{\delta t}$  (cf Euler backward)
- ou centrée :  $\left(\frac{\partial u}{\partial t}\right)_j^n \approx \frac{u_j^{n+1} - u_j^{n-1}}{2\delta t}$

Ce choix détermine le caractère **explicite** ou **implicite** de la méthode.



# Algorithme explicite du premier ordre en temps

Approche simpliste : dérivée vers l'avant

$$\frac{u_j^{n+1} - u_j^n}{\delta t} = D \left[ \frac{u_{j+1}^n - 2u_j^n + u_{j-1}^n}{(\delta x)^2} \right] \quad \text{pour } 1 \leq j \leq n_x \quad (17)$$

Semblable à méthode d'Euler explicite (progressive).

Paramètre caractéristique sans dimension :

$$\alpha = \frac{D \delta t}{\delta x^2} \quad (18)$$

# Système d'équations linéaires (algorithme explicite)

On peut alors écrire :

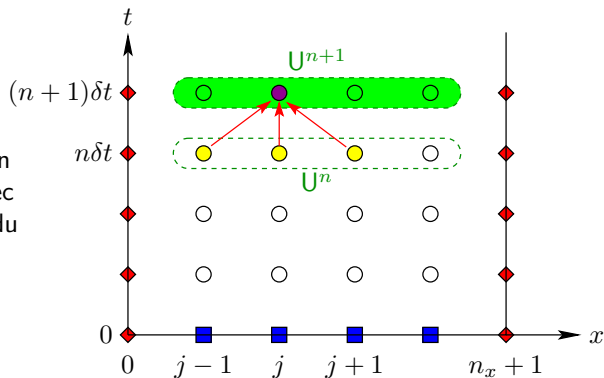
$$u_j^{n+1} = \alpha u_{j-1}^n + (1 - 2\alpha) u_j^n + \alpha u_{j+1}^n \quad \text{pour } 1 \leq j \leq n_x \quad (19)$$

Méthode **explicite** :  $u_j^{n+1}$  obtenus directement en fonctions des  $u_k^n$ .

Pour  $j = 1$  ou  $n_x$  :  $u_{j-1}^n$  ou  $u_{j+1}^n$  sur les bords  
 $\implies$  fixés par conditions aux limites

# Schéma de progression explicite

FIGURE 7 – Schéma illustrant la progression d'un pas de temps avec l'algorithme **explicite** du premier ordre en  $\delta t$ .



$$u_j^{n+1} = \alpha u_{j-1}^n + (1 - 2\alpha) u_j^n + \alpha u_{j+1}^n$$

# Explicite : Formulation matricielle

Vecteur  $\mathbf{U}^n = (u_1^n, \dots, u_{n_x}^n)$  des solutions à  $t = n\delta t$

pour les  $n_x$  **points intérieurs**

Le système d'équations linéaires prend la forme :

$$\mathbf{U}^{n+1} = \mathbf{M}(-\alpha) \mathbf{U}^n + \alpha \mathbf{V}^n,$$

$\mathbf{V}^n = (u_g^n, 0, \dots, 0, u_d^n)$  : vecteur creux des 2 conditions aux limites,

$$\mathbf{M}(-\alpha) = \mathbf{1}\mathbf{1} + \alpha \mathbf{L}_{1D}$$

où  $\mathbf{L}_{1D}$  = matrice tridiagonale représentant la dérivée seconde 1-D

$$\mathbf{L}_{1D} = \begin{pmatrix} -2 & 1 & 0 & \cdots & 0 \\ 1 & -2 & 1 & \ddots & \vdots \\ 0 & \ddots & \ddots & \ddots & 0 \\ \vdots & \ddots & \ddots & -2 & 1 \\ 0 & \cdots & 0 & 1 & -2 \end{pmatrix} \longrightarrow \mathbf{M}(-\alpha) = \begin{pmatrix} 1-2\alpha & \alpha & 0 & \cdots & 0 \\ \alpha & 1-2\alpha & \alpha & \ddots & \vdots \\ 0 & \ddots & \ddots & \ddots & 0 \\ \vdots & \ddots & \ddots & 1-2\alpha & \alpha \\ 0 & \cdots & 0 & \alpha & 1-2\alpha \end{pmatrix} \quad (20)$$

# Explicite : stabilité

Problème important : **instabilité** de la méthode explicite pour un pas de temps « un peu trop grand » ( $\alpha > 0.5$ ) :

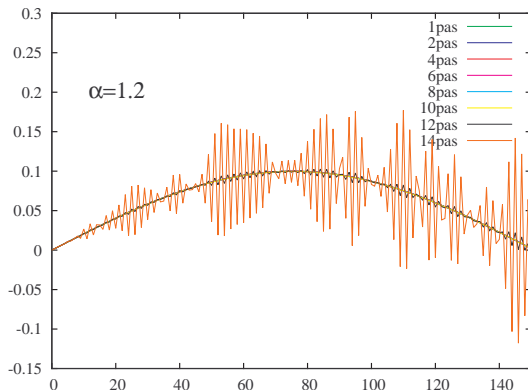


FIGURE 8 – Résolution explicite avec  $\alpha = 1.2 > 0.5$ .

# Explicite : analyse de stabilité de Fourier–von Neumann

Stabilité des modes propres :

$$u(x, t) = A(t) \exp(ikx) \quad \Rightarrow \quad u_j^n = A^{(n)} e^{ikj\delta x}, \quad (21)$$

solution si  $dA/dt = -Dk^2 A(t)$  soit  $A(t) = A(0) \exp(-Dk^2 t)$

L'algorithme explicite donne la version discrète de  $A(t)$  :

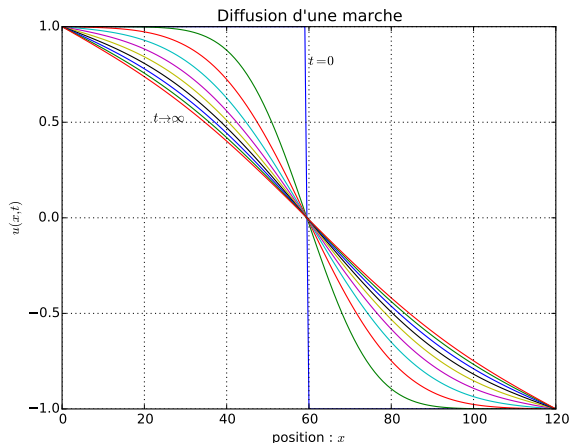
$$\begin{aligned} \frac{A^{(n+1)}}{A^{(n)}} &= 1 + \alpha \left( e^{ik\delta x} - 2 + e^{-ik\delta x} \right) \\ &= 1 + \alpha \left( e^{ik\delta x/2} - e^{-ik\delta x/2} \right)^2 \\ &= 1 - 4\alpha \sin^2 \left( \frac{k\delta x}{2} \right). \end{aligned} \quad (22)$$

→ suite géométrique  $A^{(n)} = A^{(0)} \theta^n$ , de raison réelle  $\theta = 1 - 4\alpha \sin^2 \left( \frac{k\delta x}{2} \right)$

L'algorithme **explicite** est **stable** si  $|\theta| \leq 1$  pour tous les modes, soit

$$0 \leq \alpha \leq 1/2 \quad \text{c-à-d} \quad \delta t \leq \delta x^2 / 2D$$

# Exemple : Diffusion d'une distribution en « marche »



**FIGURE 9** – Diffusion d'une marche avec des CL fixes  $+1$  à gauche et  $-1$  à droite :  $u(x,t)$  tend vers une droite si  $t \rightarrow \infty$

# Exemple : Diffusion d'une superposition de 2 modes

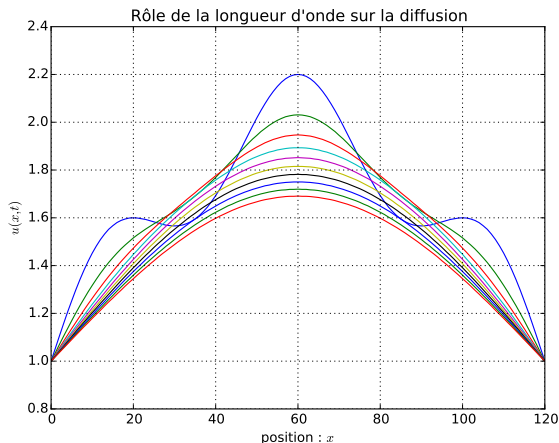


FIGURE 10 – Amortissement du mode 5 plus rapide que celui du mode 1 mais pour  $t \rightarrow \infty$ , on obtiendrait une droite.



# Solution au problème de stabilité : méthode rétrograde

Algorithme explicite (progressif) simple, mais instable sauf très petits pas  
 Stabiliser (comme Euler en EDO) en passant en implicite (rétrograde).

Algorithme **implicite** : dérivée temporelle « vers l'arrière ».

$$\frac{u_j^{n+1} - u_j^n}{\delta t} = D \left[ \frac{u_{j+1}^{n+1} - 2u_j^{n+1} + u_{j-1}^{n+1}}{(\delta x)^2} \right] \quad (23)$$

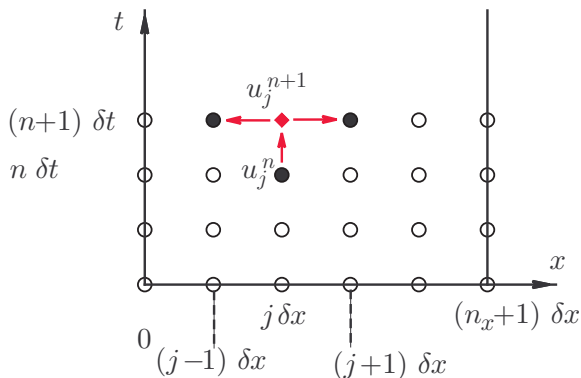
$\implies$  système de  $n_x$  équations linéaires **à inverser** :

$$-\alpha u_{j-1}^{n+1} + (1 + 2\alpha) u_j^{n+1} - \alpha u_{j+1}^{n+1} = u_j^n \quad \text{pour } j \in [1, n_x] \quad (24)$$

sauf pour  $j = 1$  et  $j = n_x$  où interviennent les CL.

# Schéma de progression implicite

FIGURE 11 – Schéma illustrant la progression d'un pas de temps avec l'algorithme **implicite** du premier ordre en  $\delta t$ .



$$-\alpha u_{j-1}^{n+1} + (1 + 2\alpha) u_j^{n+1} - \alpha u_{j+1}^{n+1} = u_j^n$$

# Formulation matricielle

De façon matricielle :  $M(\alpha) U^{n+1} = U^n + \alpha V^{n+1}$

$$M(\alpha) = \mathbb{1} - \alpha L_{1D} = \begin{pmatrix} 1+2\alpha & -\alpha & 0 & \cdots & 0 \\ -\alpha & \ddots & \ddots & \ddots & \vdots \\ 0 & \ddots & \ddots & \ddots & 0 \\ \vdots & \ddots & \ddots & \ddots & -\alpha \\ 0 & \cdots & 0 & -\alpha & 1+2\alpha \end{pmatrix} \quad (25)$$

M tridiagonale mais  $M^{-1}$  **matrice dense**  $\Rightarrow u_j^{n+1}$  dépend de tous les autres éléments, mais d'autant moins lorsqu'ils sont éloignés.

Lorsque  $\alpha \rightarrow 0$ ,  $M(\alpha)^{-1} \rightarrow M(-\alpha)$  : on retrouve l'algorithme explicite.

# Stabilité de l'algorithme implicite

Analyse Fourier – Von Neumann : modes propres  $\propto A(t) \sin(kx)$ .  
Suite géométrique de raison :

$$\theta = \frac{1}{1 + 4 \alpha \sin^2 \left( \frac{k \delta x}{2} \right)} \leq 1$$

On obtient plus simplement ce résultat à partir des valeurs propres de  $M(\alpha)^{-1} = (\mathbb{1} - \alpha L_{1D})^{-1}$ , inverses de  $1 + 4\alpha \sin^2 \left( \frac{p \pi \delta x}{2L} \right)$ .

Algorithme implicite **inconditionnellement stable** quelque soit  $\delta x, \delta t$ .

Toutefois, approximation du premier ordre en  $\delta t$  : description précise de la solution transitoire nécessite un pas de temps petit.

# Principe de l'algorithme de Crank–Nicolson

**Objectif** : accroître la précision  $\implies$  améliorer l'approximation en différences finies de  $\frac{\partial}{\partial t}$ .

Même stratégie que « Euler modifié » (cf. EDO) : **moyenne** des deux algorithmes.

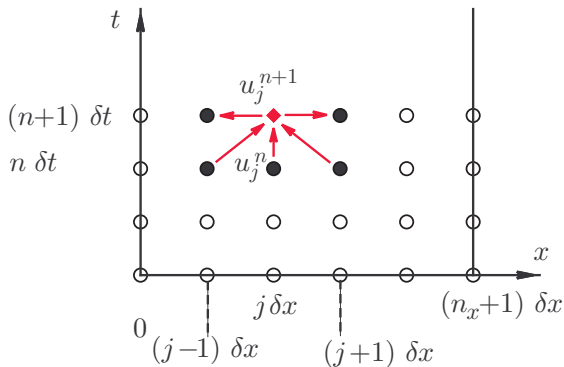
$$\frac{u_j^{n+1} - u_j^n}{\delta t} = \frac{D}{2} \left[ \frac{(u_{j+1}^{n+1} - 2u_j^{n+1} + u_{j-1}^{n+1}) + (u_{j+1}^n - 2u_j^n + u_{j-1}^n)}{(\delta x)^2} \right]$$

NB : différence finie temporelle inchangée, mais vue comme schéma centré à l'instant milieu  $(n + \frac{1}{2})\delta t$ , grâce à l'évaluation de la moyenne des laplaciens discrets aux deux instants.

Algorithme de Crank–Nicolson du deuxième ordre en  $\delta t$  et  $\delta x$ .

# Schéma de progression de Crank–Nicolson

FIGURE 12 – Schéma illustrant la progression d'un pas de temps avec l'algorithme de Crank–Nicolson.



$$-\frac{\alpha}{2}u_{j-1}^{n+1} + (1 + \alpha)u_j^{n+1} - \frac{\alpha}{2}u_{j+1}^{n+1} = \frac{\alpha}{2}u_{j-1}^n + (1 - \alpha)u_j^n + \frac{\alpha}{2}u_{j+1}^n$$

# Stabilité de l'algorithme de Crank–Nicolson

Etude de stabilité Von Neumann : décroissance géométrique des modes :

$$\theta = \frac{1 - 2 \alpha \sin^2 \left( \frac{k \delta x}{2} \right)}{1 + 2 \alpha \sin^2 \left( \frac{k \delta x}{2} \right)} \quad (26)$$

ce qui permet de montrer que cet algorithme est lui aussi **inconditionnellement stable** (*i.e.* quel que soit le choix de  $\delta t$ ).

$$\theta_{\text{CN}}(\alpha) = \theta_{\text{explicite}}\left(\frac{\alpha}{2}\right) \times \theta_{\text{implicite}}\left(\frac{\alpha}{2}\right)$$

# Formulation matricielle

Système d'équations linéaires à résoudre ( $j \in [1, n_x]$ ) :

$$-\frac{\alpha}{2}u_{j-1}^{n+1} + (1 + \alpha)u_j^{n+1} - \frac{\alpha}{2}u_{j+1}^{n+1} = \frac{\alpha}{2}u_{j-1}^n + (1 - \alpha)u_j^n + \frac{\alpha}{2}u_{j+1}^n \quad (27)$$

sauf pour  $j = 1$  et  $j = n_x$  où interviennent les CL.

De façon matricielle :

$$M\left(\frac{\alpha}{2}\right) U^{n+1} = M\left(\frac{-\alpha}{2}\right) U^n + \frac{\alpha}{2} [V^n + V^{n+1}] \quad (28)$$

où  $M(\alpha) = \mathbf{1} - \alpha L_{1D}$